

УДК 550.93:552.321.1(571.62)

## ПЕРВЫЕ Sm–Nd-ДАННЫЕ О ПОЗДНЕОРДОВИКСКОМ ВОЗРАСТЕ ГРАНИТОИДОВ ВЕРХНЕМАЙСКОГО ПОДНЯТИЯ (ОХОТСКИЙ МАССИВ)

© 2003 г. В. К. Кузьмин, Б. В. Беляцкий, М. В. Наумов

Представлено академиком Ю.М. Пущаровским 05.12.2002 г.

Поступило 17.12.2002 г.

В восточной части Юдомо-Майского нагорья от верховьев р. Маи вдоль ее левобережья до р. Иникан прослеживается Верхнемайское поднятие (ВМП), приуроченное к сложному узлу сопряжения разнотипных и разновозрастных геоструктурных элементов и отделяющее Юдомо-Майский прогиб и Южно-Верхоянский синклиниорий на западе от Охотского массива и Ульинского вулканогена на востоке. ВМП представляет собой протяженный тектонический блок клиновидной формы ( $20 \times 130$  км) северо-восточного простирания, сложенный гранитоидами майского комплекса и метаморфическими породами верхнемайской серии, резко отличными по вещественному составу, степени метаморфизма, дислоцированности и возрасту от вмещающих образований (рис. 1). В связи с недостаточной геофизической и геологической изученностью основные вопросы геологии и тектоническая позиция ВМП остаются остро дискуссионными и по ним предлагаются альтернативные решения как с позиций геосинклинальной [1–5], так и плейттектонической концепций [6–8].

Приведенные в статье данные о возрасте гранитоидов позволяют заключить о завершении тектоно-магматического цикла в развитии региона в раннем палеозое (поздний ордовик).

Внешние ограничения ВМП преимущественно разрывные и отчетливо фиксируются протяженными зонами интенсивно милонитизированных и диафторированных пород. С запада ВМП ограничивается круто падающим на восток Билякчанским глубинным разломом, который отделяет гранитоиды и метаморфические породы ВМП от рифей-среднепалеозойских вулканогенно-осадочных отложений Юдомо-Майского прогиба и верх-

непалеозойских терригенно-осадочных толщ верхоянского комплекса Южно-Верхоянского синклиниория. Восточная периферия ВМП также имеет тектоническую природу, но здесь кристаллические образования ступенчато погружаются под полого падающие на восток маломощные (0.2–1.5 км) верхнепалеозойские и мезозойские вулканогенно-континентальные и прибрежно-морские отложения Ульинского прогиба. С севера ВМП ограничено разломом северо-западного простирания, вдоль которого кристаллический комплекс контактирует с триас-юрскими осадочными отложениями чехла Охотского массива. На юге ВМП постепенно выклинивается, и здесь отложения Юдомо-Майской складчато-глыбовой системы не только соприкасаются с вулканитами Ульинского прогиба, но и перекрываются ими.

При геолого-съемочных работах и тематических исследованиях в пределах ВМП установлено несколько массивов гранитоидов, разобщенных между собой раннедокембрийскими метаморфическими образованиями (с севера на юг): Маастахский, Майский, Марский и Амагаранский. Для всех массивов гранитоидов характерны отчетливо выраженная удлиненная форма, совпадающая с простиранием ВМП, тектонические и реже интрузивные контакты с вмещающими метаморфическими толщами, сложное внутреннее строение. По данным Г.А. Гринберга, В.В. Громова, А.Л. Ставцева, И.М. Фердмана [2, 9–11], массивы сложены породами щелочноземельного ряда, среди которых преобладают биотит-роговообманковые гранодиориты и граниты, отмечаются кварцевые диориты, монzonиты, аляскиты.

Полученные нами новые данные свидетельствуют о широком развитии в составе майского комплекса пород субщелочного ряда, которые образуют единую субщелочную калиево-натровую серию от монцогаббро до субщелочных лейкогранитов. Преобладают граносиениты, кварцевые монzonиты, субщелочные граниты и гранодиориты, встречаются монцогаббро, монzonиты, сиениты, кварцевые диориты, граниты и аляски-

Всероссийский научно-исследовательский  
геологический институт им. А.П. Карпинского,  
Санкт-Петербург  
Институт геологии и геохронологии докембра  
Российской Академии наук, Санкт-Петербург

**Таблица 1.** Результаты Sm–Nd-изотопного анализа мономинеральных фракций биотит-рогообманковых гранодиоритов Майского массива (проба 525)

Образец	Возраст, млн. лет	[Sm]	[Nd]	$^{147}\text{Sm}/^{144}\text{Nd}$	$^{143}\text{Nd}/^{144}\text{Nd}$	$\Delta\delta$	$\epsilon$	$T(\text{DM})$	$T(\text{DM}_2)$
Амфибол	470	16.99	62.32	0.16533	0.511335	18	-23.56	5647	3162
Биотит	470	2.608	12.63	0.12525	0.511198	27	-23.83	3343	3183
Сфен	470	25.74	85.67	0.18220	0.511355	15	-24.19	8505	3213
Плагиоклаз	470	0.754	4.692	0.09748	0.511107	23	-23.93	2668	3192

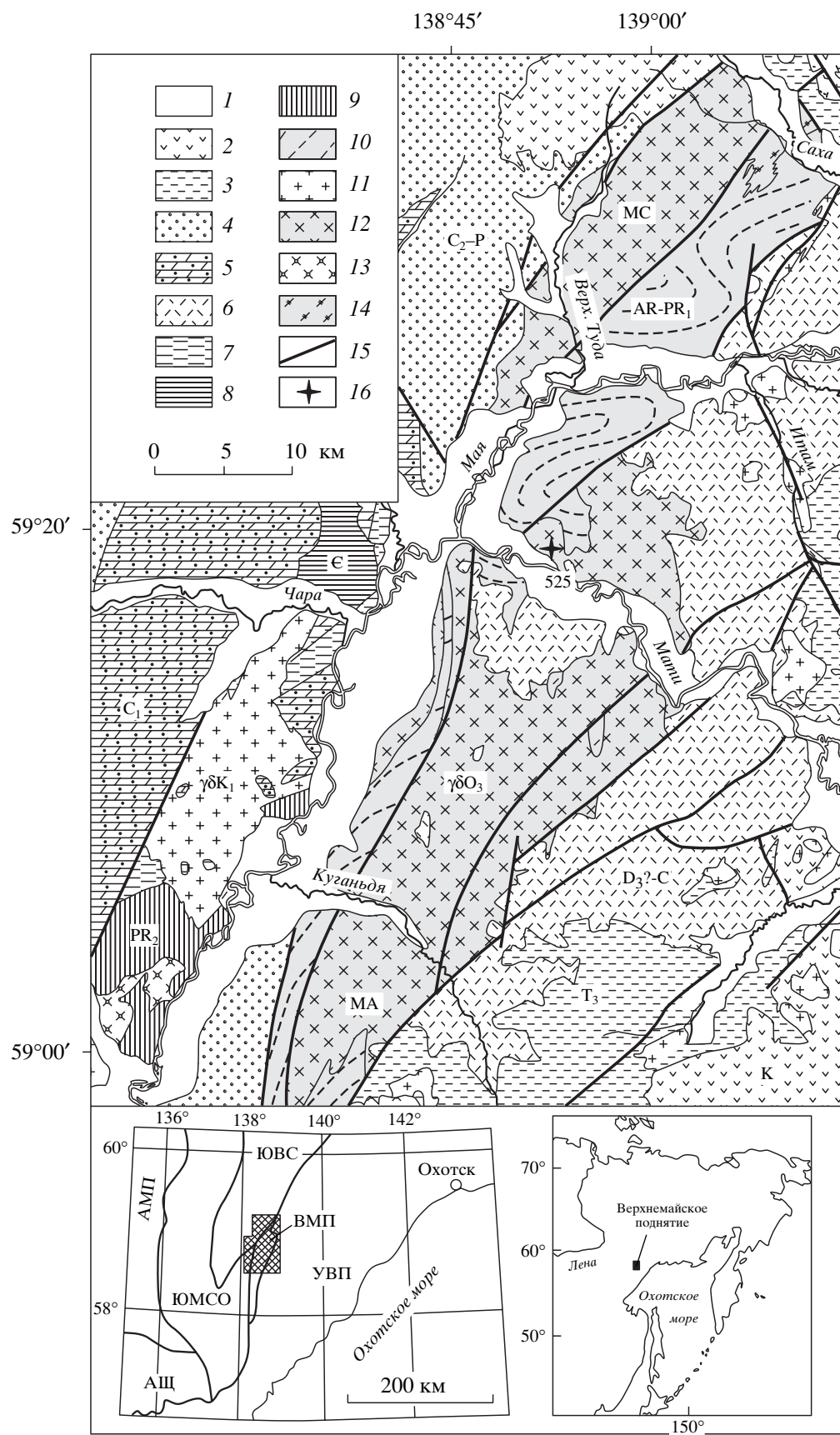
Примечание. При расчетах  $\epsilon_{\text{Nd}}$  на время образования пород (470 млн. лет назад) использованы параметры CHUR (хондритового резервуара):  $^{147}\text{Sm}/^{144}\text{Nd} = 0.1967$ ;  $^{143}\text{Nd}/^{144}\text{Nd} = 0.512638$ .

ты. Для них характерны массивная и такситовая, обусловленная неравномерным распределением лейкократовых и темноцветных минералов, текстуры, средне-крупнозернистая равномернозернистая и порфиробластовая структуры. Микроструктура пород гипидиоморфнозернистая, участками монцонитовая. Порфиробластовые выделения представлены крупными (до 3–5 см), часто субдиоморфными, кристаллами калиевого полевого шпата, количество которого нередко достигает 20–30%. В качестве темноцветных минералов присутствуют обыкновенная роговая обманка и биотит, в незначительных количествах локально присутствует клинопироксен. Наиболее характерными акцессорными минералами в гранитоидах майского комплекса являются магнетит, количество которого достигает 1–3%, апатит, сфен, циркон, эпидот, ортит, пирит. Схема развития интрузивного магматизма в целом сходна для всех массивов ВМП и соответствует гомодромной последовательности внедрения с обособлением трех последовательных фаз: 1) ранняя фаза – мелкие тела и включения монцогаббро, диоритов, 2) главная фаза – граносиениты, гранодиориты, кварцевые монцониты, субщелочные граниты, 3) заключительная фаза – аляскиты и пегматиты.

В петрохимическом отношении майский комплекс представляет собой непрерывный по кремнекислотности ряд пород с содержанием  $\text{SiO}_2$  от 49 до 76%. Сумма щелочей в них колеблется от 5% в основных породах до 10% в наиболее кислых, отношение  $\text{Na}_2\text{O}/\text{K}_2\text{O}$  постепенно уменьшается от 2.8 до 0.8, коэффициент глиноземистости ( $al' = \text{Al}_2\text{O}_3/(\text{Fe}_2\text{O}_3 + \text{FeO} + \text{MgO})$ ) возрастает от 1.8 до 6.6. Монцогаббро, кварцевые диориты и монцониты соответствуют высокоглиноземистым разновидностям, все остальные породы являются весьма высокоглиноземистыми за исключением некоторых крайне высокоглиноземистых аляскитов, в которых значение  $al'$  достигает 12. Коэффициент агпантности ( $K_a = (\text{Na}_2\text{O} + \text{K}_2\text{O})/\text{Al}_2\text{O}_3$ ) в ряду от габброидов до гранитов возрастает от 0.34 до 0.68, а железистость от 64.8 до 87.6%. Характерно, что количество натрия не обнаружива-

ет значимой корреляции с кремнекислотностью, составляя 3–6% во всем ряду пород от монцогаббро до гранита. В то же время содержание  $\text{K}_2\text{O}$  закономерно возрастает от 1% в монцогаббро до 6% в аляскитах. Концентрации других петрогенных оксидов в этом ряду пород постепенно уменьшаются. Нормированные по среднемирамым типам составы породных групп майского комплекса показывают, что они являются высококалиевыми и высоконатриевыми, с повышенными количествами титана, кальция и магния; содержания остальных компонентов близки к норме.

Вопрос о возрасте гранитоидов ВМП долгое время оставался дискуссионным, поскольку интерпретация геологических материалов допускала их принадлежность не только к раннему докембрию, но и к палеозою, и даже к мезозою. Все исследователи отмечали, что пространственно и структурно гранитоиды тесно связаны с раннедокембрийскими метаморфическими толщами и не наблюдаются вне полей их развития, а со всеми более молодыми, чем раннепротерозойские, образованиями они контактируют только по разломам. Поэтому на геологических и тектонических картах и схемах различного масштаба гранитоиды майского комплекса относились к позднему архею [10], раннему протерозою [2], раннему палеозою [11], позднему палеозою [9], мезозою [12]. Однако на северо-западе ВМП, в бассейне р. Верхняя Туда, было установлено И.М. Фердманом [2] и подтверждено нами стратиграфическое налегание на гранитоиды алевролитов и песчаников экачанской свиты с раннепермской фауной брахиопод и мишенок, причем в основании разреза залегает пласт базальных полимиктовых конгломератов мощностью от 10 до 120 м (руч. Эркин). Конгломераты сложены плохо отсортированной угловатой и слабо окатанной галькой размером от 1 до 6 см с поровым цементом, представленным крупнозернистым граувакковым и аркозовым песчаником. Состав галек разнообразен, но преобладают гранитоиды майского комплекса – 29%, раннедокембрийские гранито-гнейсы верхнемайской серии – 18% и верхнедевонские эфузивы матийской свиты – 47%. Примечательно,



**Рис. 1.** Схематическая геологическая карта Верхнемайского поднятия. АШ – Алданский щит, АМП – Алдано-Майский прогиб, ЮМСО – Юдомо-Майская складчато-глыбовая область, ЮВС – Южно-Верхоянский синклиниорий, ВМП – Верхнемайское поднятие, МС и МА – Маастахский и Майский массивы гранитоидов, УВП – Ульинский вулканогенный прогиб. 1 – пески, суглинки, галечники (Q); 2 – конгломераты, дациты, андезиты, андезибазальты, туфы среднего и кислого составов (K); 3 – песчаники, алевролиты, гравелиты, конгломераты ( $T_3$ ); 4 – песчаники, алевролиты, аргиллиты, конгломераты ( $C_2$ –P); 5 – известняки, аргиллиты, алевролиты, песчаники ( $C_1$ ); 6 – игнимбриты, липариты, дациты, андезиты, туфы, туфоконгломераты ( $D_3$ ?–C); 7 – песчаники, алевролиты, известняки (O); 8 – известняки, доломиты, аргиллиты ( $E_1$ ); 9 – андезитовые порфиры, кварцевые порфиры, конгломераты ( $PR_2$ ); 10 – биотит-рогообманковые гнейсы, кристаллосланцы, мигматиты ( $AR$ – $PR_1$ ); 11 – гранодиориты, граниты, граносиениты, гранит-порфиры (K); 12 – граносиениты, монцониты, субщелочные граниты, гранодиориты ( $O_3$ ); 13 – граносиениты, граниты ( $PR_2$ ); 14 – биотитовые гнейсограниты ( $PR_1$ ); 15 – тектонические нарушения; 16 – место отбора пробы 525.

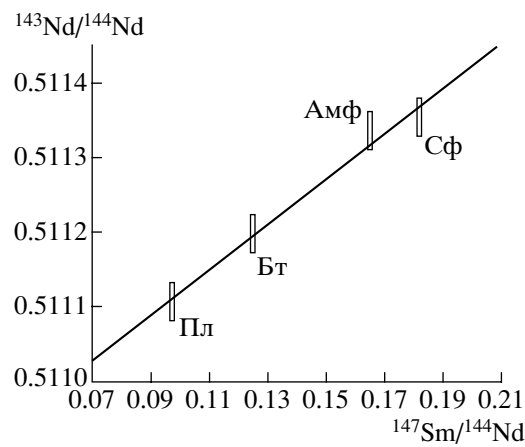
что в конгломератах и гравелитах верхнего протерозоя, нижнего и среднего палеозоя не отмечается галька гранитоидов майского комплекса и эфузивов матийской свиты. В то же время в терригенных породах пермского возраста и мезозоя галька и обломки этих пород преобладают. Следовательно, к раннепермскому времени гранитоиды майского комплекса были уже сформированы и выведены на поверхность, где совместно с эфузивами матийской свиты подвергались денудации.

Изотопные K–Ar-определения гранодиоритов Маастахского и Майского массивов, а также гранодиоритов из гальки раннепермских конгломератов экачанской свиты дали разброс цифр от 283 до 334 млн. лет и подтвердили правильность отнесения их позднему палеозою [9], но не убедили сторонников раннедокембрийского возраста, которые K–Ar-датировки считают омоложенными [2, 10, 13].

Для определения радиологического возраста гранитоидов майского комплекса была исследована Sm–Nd-изотопная система минеральных фракций образца гранодиорита (обр. 525), отобранного из скального выхода в 1450 м к западу-юго-западу от высотной отметки 909.5 м и в 1100 м к восток-северо-востоку от устья руч. Таяхтах (рис. 1). Гранодиорит представлен типичной для майского комплекса массивной среднезернистой зеленовато-серой породой с крупными (до 15 мм) вкрапленниками калиевого полевого шпата в количестве до 5–10%. Структура основной массы гипидиоморфнозернистая и гранитная. Плагиоклаз (45–60%) представлен короткопризматическими зернами от 1–3 до 5 мм с полисинтетическими двойниками и отчетливой оптической зональностью: от  $An_{41-45}$  в центре до  $An_{34-40}$  по периферии. Калиевый полевой шпат (5–10%) образует ксеноморфные зерна размером до 1–2 мм с нечеткой на отдельных участках кристалла микроклиновой решеткой, часто с пятнистым угасанием. Кварц (15–20%) равномерно распределен в основной массе и наблюдается в виде изометрично-ксеноморфных зерен до 1–2 мм нередко с мозаичным и волнистым погасанием. Идиоморф-

ные таблички биотита (8–10%) до 0.5–2 мм по удлинению плеохроируют в буро-коричневых ( $Ng$ ) и желтоватых тонах ( $Np$ ) и содержат мелкие включения апатита, сфена и магнетита. Роговая обманка (3–8%) формирует длинно-призматические кристаллы размером до 1–3 мм с простыми двойниками и плеохроирует от темно-зеленого ( $Ng$ ) до зеленовато-желтого цвета ( $Np$ ). Аксессорные минералы представлены апатитом, сференом, магнетитом.

Из гранодиорита были выделены 4 фракции породообразующих и аксессорных минералов (плагиоклаз, биотит, амфибол, сфен) с использованием стандартных методов магнитной и плотностной сепарации (чистота фракций не менее 99%). Анализ изотопного состава неодима и концентраций Sm и Nd (методом изотопного разбавления) осуществлялся на твердофазном масс-спектрометре “Finnigan MAT-261” в ИГГД РАН. Детали методики аналогичны описанным в [14]. Полученные результаты анализа представлены в табл. 1, а результаты расчета изохрон на рис. 2. По четырем мономинеральным фракциям пост-



**Рис. 2.** Sm–Nd-изохронная диаграмма для биотит-рогообманковых гранодиоритов Майского массива, проба 525.  $T = 464 \pm 58$  млн. лет,  $(^{143}\text{Nd}/^{144}\text{Nd})_0 = 0.510815 \pm 0.000055$ , СКВО = 1.6. Пл – плагиоклаз, Бт – биотит, Амф – амфибол, Сф – сфен.

роена изохона с наклоном, соответствующим возрасту  $464 \pm 58$  млн. лет при СКВО = 1.6 и первичном изотопном составе неодима, соответствующим 0.510815 ( $\epsilon = -23.9$ ). Величина первичного изотопного состава неодима однозначно указывает на выплавление гранитной магмы Майского массива из древнего корового материала (модельный возраст по двустадийной модели соответствует возрасту протолита в 3.2 млрд. лет). При этом время становления собственно массива может быть оценено исходя из полученной изохоры (464 млн. лет назад), что хорошо согласуется с оценками возраста цирконов из аналогичных гранодиоритов, полученными Рb-методом Е.В. Бибиковой – 448 млн. лет [2].

Таким образом, результаты проведенного исследования свидетельствуют: 1) о позднеордовикском возрасте гранитоидов майского комплекса, 2) о проявлении в истории геологического развития западной части Охотского массива самостоятельного импульса раннепалеозойского орогенно-го гранитоидного магматизма, предшествующего накоплению толщ верхоянского комплекса, 3) о завершенности рифей-палеозойского тектономагматического цикла и позволяют пересмотреть сложившиеся представления о его протяженности от рифея до мезозоя.

Работа выполнена при финансовой поддержке РФФИ (грант 00-05-64821).

#### СПИСОК ЛИТЕРАТУРЫ

1. Беэр А.А. // Изв. АН СССР. Сер. геол. 1965. № 4. С. 71–85.
2. Геологическая карта СССР. 1 : 200000. Объяснительная записка. Лист О-54-I. М., 1976. 60 с.
3. Геологическая карта Охотского района Хабаровского края. 1 : 500000. Объяснительная записка. Хабаровск, 1975. 20 с.
4. Вельдяков Ф.Ф., Умитбаев Р.Б. В кн.: Складчатые системы Дальнего Востока. Владивосток: ДВНЦ АН СССР, 1976. С. 93–117.
5. Чиков Б.М. Тектоника Охотского срединного массива. М.: Наука, 1970. 151 с.
6. Зоненшайн Л.П., Кузьмин М.И., Натапов Л.М. Тектоника литосферных плит территории СССР. М.: Недра, 1990. Кн. 2. 334 с.
7. Парфенов Л.М. Континентальные окраины и островные дуги мезозой Северо-Востока Азии. Новосибирск: Наука, 1984. 192 с.
8. Натапов Л.М., Сурмилова Е.П. // Отеч. геология. 1995. № 2. С. 49–53.
9. Гринберг Г.А., Бахарев А.Г., Гамянин Г.Н. и др. Гранитоиды Южного Верхоянья. М.: Наука, 1970. 216 с.
10. Геологическая карта СССР. 1 : 1000000. Новая серия. Объяснительная записка. Лист О-(53), 54 – Охотск. Л., 1986. 128 с.
11. Геологическая карта СССР. 1 : 200000. Объяснительная записка. Лист О-54-II. М., 1978. 76 с.
12. Шнай Г.К., Соболев А.Е., Игошина И.И. // ДАН. 1991. Т. 319. № 4. С. 957–961.
13. Легенда Охотской серии листов Государственной геологической карты Российской Федерации. 1 : 200000. Объяснительная записка. Хабаровск, 1998. 70 с.
14. Беляцкий Б.В., Левский Л.К., Трухалев А.И. и др. // Геохимия. 1997. № 8. С. 876–880.